

Некоторые задачи анализа временных рядов и идентификация компонент в методе “Гусеница”-SSA

Шлемов Александр Юрьевич, гр. 522

Санкт-Петербургский государственный университет
Математико-механический факультет
Кафедра статистического моделирования

Научный руководитель — к.ф.-м.н. **Н.Э. Голяндина**
Рецензент — к.ф.-м.н. **А.И. Коробейников**



Санкт-Петербург
2011г.

Постановка задачи и структура работы

Временной ряд $F = (f_1, f_2, \dots, f_N)$.

Модель:

$F = S + R$, где S — некоторый сигнал, а R — случайный шум.

Задачи:

- 1 S — ?;
- 2 s_{N+1}, s_{N+K} — ?;
- 3 Пусть $S = T + C^{(1)} + C^{(2)} + \dots + C^{(p)}$, где T — тренд; $C^{(i)}$ — периодические компоненты. T — ?; $C^{(i)}$ — ?.

Решение: на основе метода “Гусеница”-SSA
(«SSA and Related Techniques», G., N., Z., 2001)

Структура работы:

- 1 Метод “Гусеница”-SSA и понятия, связанные с ним
- 2 Восстановление и прогноз в методе SSA на языке фильтров
- 3 Методы автоматической идентификации гармонических компонент

Глава 1: Ряд конечного порядка, ЛРФ

Ряд $S = (s_1, \dots, s_N)$ называется **рядом конечного порядка**, если:

$$s_j = \sum_{i=1}^r c_i s_{j-d+i};$$

r — порядок линейной рекуррентной формулы (**ЛРФ**);
если r минимальное, то его называют **порядком ряда**.

$X^{(i)} = (s_i, s_{i+1}, \dots, s_{i+L-1})^T$ — вектора L -вложения

$\mathbb{S}^L(S) = \text{span} \{X^{(i)}\}_{i=1}^{N-L+1}$ — L -сигнальное подпространство

$P = (p_1, \dots, p_L)^T = \mathbf{P}_{\mathbb{S}^L(\mathbb{F})} e_L$ — проекция L -го орта на $\mathbb{S}^L(F)$.

Пусть $(P)_L \neq 1$, тогда вектор

$$C = \frac{P^\nabla}{1 - (P)_L} = \frac{1}{1 - p_L} \cdot (p_1, \dots, p_{L-1})^T \quad -$$

задает коэффициенты т.н. “**миннормЛРФ**”, управляющей S ;

$\|C\| = \min$ среди всех ЛРФ порядка $\leq L - 1$.

Применив ЛРФ, можно построить продолжение ряда S .

Глава 1: Метод “Гусеница”-SSA

Пусть $F = S_1 + S_2 + \dots + R$; S_l — конечного порядка;
 $F = (f_1, \dots, f_N)$

Схема SSA:

$$F \xrightarrow[\boxed{L}]{\tau} \mathbf{X} = \begin{pmatrix} f_1 & f_2 & \dots & f_K \\ f_2 & f_3 & \dots & f_{K+1} \\ \vdots & \vdots & & \vdots \\ f_L & f_{L+1} & \dots & f_N \end{pmatrix} \xrightarrow{\text{SVD: } \{\sqrt{\lambda_i}, U^{(i)}, V^{(i)}\}_{i=1}^d} \boxed{\{1, \dots, d\} = \bigsqcup_l I_l}$$
$$\begin{cases} \widehat{\mathbb{S}^L(S_l)} = \text{span} \{U^{(i)}\}_{i \in I_l} \\ \widehat{\mathbf{X}}_l = \sum_{i \in I_l} U^{(i)} (U^{(i)})^T \mathbf{X} = \mathbf{P}_{\widehat{\mathbb{S}^L(S_l)}} \mathbf{X} \end{cases} \xrightarrow{\mathcal{H}} \widetilde{\mathbf{X}}_l = \mathcal{H} \widehat{\mathbf{X}}_l \xrightarrow{\tau^{-1}} \widetilde{S}_l$$

Рекуррентный прогноз:

- ❶ оценка коэффициентов миннормЛРФ $\widehat{P} = \mathbf{P}_{\widehat{\mathbb{S}^L(S_l)}} e_L$;
- ❷ применение ЛРФ к восстановленному ряду.

Вопросы:

- Восстановление и прогноз в терминах линейных фильтров.
- Отбор, идентификация гармонических компонент.

Глава 2: Фильтры: Определение

$\mathbf{x} = (\dots, x_{-1}, x_0^0, x_1, x_2, \dots)$ — последовательность.

Оператор $\Phi: \mathbf{x} \mapsto \mathbf{y}$ будем называть **фильтром**, если:

- ❶ $\Phi(\mathbf{x})$ — линейный;
- ❷ $\Phi(\mathcal{L}^i \mathbf{x}) = \mathcal{L}^i \Phi(\mathbf{x}) \quad \forall \mathbf{x}, \forall i.$

Для конечного ряда $F = (f_1, \dots, f_N)$:

$$(\Phi(F))_j = \left(\Phi((0, \dots, 0^0, f_1, f_2, \dots, f_N, 0, \dots)) \right)_j.$$

Любой фильтр Φ можно записать: $(\Phi(\mathbf{x}))_j = \sum_{i=-\infty}^{+\infty} h_i x_{j-i}.$

Последовательность $\mathbf{h}_\Phi = (\dots, h_{-1}, h_0^0, h_1, \dots)$ — **импульсная характеристика**.

КИХ-фильтр: $(\Phi(\mathbf{x}))_j = \sum_{i=-r_1}^{r_2} h_i x_{j-i}.$

Причинный КИХ-фильтр: $(\Phi(\mathbf{x}))_j = \sum_{i=0}^{r-1} h_i x_{j-i}.$

Будем говорить, что фильтр имеет порядок $\leq r$.

Если $h_{r-1} \neq 0$, то r — **порядок фильтра**.

$H_{\Phi}(z) = \sum_i h_i z^{-i}$ — передаточная функция;

$A_{\Phi}(\omega) = |H_{\Phi}(e^{i\omega})|$ — АЧХ; $\varphi_{\Phi}(\omega) = \text{Arg } H_{\Phi}(e^{i\omega})$ — ФЧХ.

Смысл АЧХ и ФЧХ:

$$(\mathbf{x})_j = \cos(\omega j) \Rightarrow (\Phi(\mathbf{x}))_j = A_{\Phi}(\omega) \cos(\omega j + \varphi_{\Phi}(\omega)).$$

$\mathcal{E}\Phi = \sum_i h_i^2$ — мощность фильтра.

Полоса пропускания фильтра: $f_a\Phi = \{\omega \in [0, \pi]: A_{\Phi}(\omega) \geq a\}$

$\Delta f_a\Phi = \text{mes } f_a\Phi$ — ширина полосы. Свойство: $\Delta f_a\Phi \leq \frac{\pi}{a^2} \cdot \mathcal{E}\Phi$.

Предложение (Значение мощности)

Пусть наблюдается $\hat{\mathbf{x}} = \mathbf{x} + \varepsilon$, где ε_j — н.с.в., $E\varepsilon_j = 0$, $D\varepsilon_j = \sigma^2$; пусть известен фильтр Φ : $\Phi(\mathbf{x}) = \mathbf{x}$ и $\tilde{\mathbf{x}} = \Phi(\hat{\mathbf{x}})$, тогда:

$$E(\tilde{\mathbf{x}})_j = (\mathbf{x})_j; \quad D(\tilde{\mathbf{x}})_j = \sigma^2 \cdot \mathcal{E}\Phi$$

Таким образом: $\mathcal{E}\Phi \rightarrow 0 \Rightarrow D(\tilde{\mathbf{x}})_j \rightarrow 0$.

Глава 2: SSA-фильтры восстановления

Пусть $\{U_L^{(i)}\}_{i=1}^d$ — сигнальные вектора SSA-разложения; определим:

$$\left\{ \begin{array}{l} \mathbf{h}_{\Theta_L^{(i)}} = (\dots, 0, u_L^{(i)}, 0, \dots), \\ \mathbf{h}_{\Theta_{L-1}^{(i)}} = (\dots, 0, u_{L-1}^{(i)}, u_L^{(i)}, 0, \dots), \\ \dots \\ \mathbf{h}_{\Theta_1^{(i)}} = (\dots, 0, u_1^{(i)}, \dots, u_{L-1}^{(i)}, u_L^{(i)}, 0, \dots); \\ \mathbf{h}_{\Psi^{(i)}} = \text{rev } \mathbf{h}_{\Theta_1^{(i)}} = (\dots, u_L^{(i)}, \dots, u_1^{(i)}, 0, \dots). \end{array} \right. \rightarrow \left\{ \begin{array}{l} \Phi_L^{(i)} = \Theta_L^{(i)} \circ \Psi^{(i)}, \\ \Phi_{L-1}^{(i)} = \Theta_{L-1}^{(i)} \circ \Psi^{(i)} / 2, \\ \dots \\ \Phi_1^{(i)} = \Theta_1^{(i)} \circ \Psi^{(i)} / L; \\ \Phi_k^{(I)} = \sum_{i \in I} \Phi_k^{(i)}. \end{array} \right.$$

Теорема

SSA-фильтры восстановления.

- $(\Phi_k^{(I_l)}(F))_{N-L+k} = (\tilde{F}_l)_{N-L+k}$ для всех k таких, что $1 < k \leq L$;
- $(\Phi_1^{(I_l)}(F))_j = (\tilde{F}_l)_j$ для j таких, что $L \leq j \leq N - L + 1$.

$\Phi_1^{(I_l)}$ — фильтр средней точки (ФСТ);

$\Phi_L^{(I_l)}$ — фильтр последней точки (ФПТ).

Восстановление для $L \ll N$ — применение симметричного фильтра средней точки $\Phi_1^{(I)}$.

Свойство ФСТ:

Симметричность $\Rightarrow \text{ФЧХ}_{\varphi_{\Phi(I)_1}} \equiv 0 \Rightarrow$ сохранение фазы гармоники.

Результат:

$$\mathcal{E}\Phi_1^{(I)} \leq (\#I)^2/L.$$

Следовательно:

$$\Delta f_a \Phi_1^{(I)} \leq \pi(\#I)^2/a^2/L.$$

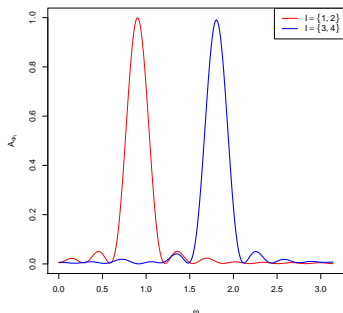
Таким образом, **увеличивая L , пропорционально уменьшаем полосу SSA-фильтра восстановления.**

Результат: АЧХ SSA-фильтра восстановления средней точки по вектору U пропорциональна периодограмме вектора U .

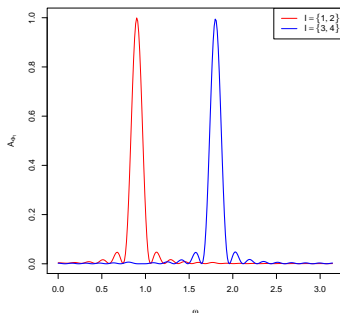
Следовательно: Частотная SSA-разделимость может быть сформулирована на языке SSA-фильтра средней точки.

Модель:

Ряд F длины $N = 400$ вида $f_n = s_n + r_n$, где $s_n = 2 \cos(2\pi n/3) + \cos(2\pi n/7)$.



$L = 20$



$L = 40$

Амплитудно-частотная характеристика фильтра средней точки

Рекуррентный прогноз как фильтр:

$$\tilde{s}_{N+1} = \sum_{i=1}^{L-1} c_i \tilde{s}_{N-d+i} = \sum_{i=1}^N c'_i f_i, \quad \text{где: } \begin{cases} c_i = \mathfrak{F}_i(\widehat{\mathbb{S}^L(S)}), \\ c'_i = \mathfrak{G}_i(\widehat{\mathbb{S}^L(S)}). \end{cases}$$

Одношаговый прогноз \sim причинный КИХ-фильтр Υ с импульсной характеристикой $\mathbf{h}_\Upsilon = (\dots, 0, \overset{0}{0}, c'_N, \dots, c'_1, 0, \dots)$.

Предложение

Пусть $(\Phi(S))_j = \sum_{i=0}^r h_i s_{j-i} = s_j$ для любого $j \geq L$, $h_0 \neq 1$; тогда Φ порождает линейную рекуррентную формулу $\Upsilon = \Upsilon(\Phi)$, управляющую рядом S , вида $S_j = \frac{1}{1-h_0} \sum_{i=1}^r h_i s_{j-i}$.

Предложение

Любую ЛРФ Υ , управляющую S , можно дополнить до сохраняющего фильтра $\Phi_\alpha = \Phi_\alpha(\Upsilon)$ для любого α : $\Phi_\alpha = (1 - \alpha)\Upsilon + \alpha\mathbb{I}$.

$$\mathcal{E}\Phi_\alpha \rightarrow \min, \alpha - ?$$

Пусть $\mathbb{S}^L(S) = \text{span} \{U_L^{(i)}\}_{i \in I}$.

Оптимальная эквивалентность между ФПТ и миннормЛРФ:

Предложение

Пусть $\Phi_L^{(I)}$ — ФПТ и ЛРФ $\Upsilon = \Upsilon(\Phi_L^{(I)})$. Тогда Υ — миннормЛРФ пространства $\mathbb{S}^L(S)$.

Теорема

Пусть Υ — миннормЛРФ пространства $\mathbb{S}^L(S)$. Тогда ФПТ $\Phi_L^{(I)} = \Phi_{\alpha_0}(\Upsilon)$, где $\alpha_0 = \underset{\alpha}{\operatorname{argmin}} \mathcal{E}\Phi_{\alpha}(\Upsilon)$.

Оптимальные восстанавливающие свойства ФПТ:

Теорема

- 1 ФПТ сохраняет сигнал S , т.е. $(\Phi_L^{(I)}(S))_j = s_j$ для $j \geq L$;
- 2 ФПТ — оптимальный фильтр порядка $\leq L$, сохраняющий S ;

$$F = (f_1, \dots, f_N), F = S + R$$

$$\text{Восстановление: } \tilde{s}_N = \widehat{\Phi\mathbf{P}\mathbf{T}}_L(F)$$

$$\text{Прогноз: } \tilde{s}_{N+1} = \widehat{\mathbf{L}\mathbf{R}\mathbf{F}}_{L-1}(F)$$

$$\text{Задача: } D\tilde{s}_N \rightarrow \min, \quad D\tilde{s}_{N+1} \rightarrow \min$$

Имеем противоречивые рекомендации:

- ❶ $L \rightarrow \max$, т.к. тогда $\mathcal{E}\Phi_L^{(I)} \rightarrow \min$, $\mathcal{E}\Upsilon \rightarrow \min$;
- ❷ $L \rightarrow \min$, т.к. тогда $\mathbb{S}(S)$ оценивается точнее (Golyandina, 2010).

Идея решения:

Строить оценку базиса подпространства с малой длиной окна,
а затем увеличивать длину базисных векторов

$$\{U_L^{(i)}\}_{i=1}^r \xrightarrow{?} \{U_{L'}^{(i)}\}_{i=1}^r$$

Для восстановления последней точки: $L' = N$;
для прогноза: $L' = N + 1$.

Рассмотрим ряд $F = (f_1, \dots, f_N)$ порядка r , где $f_j = \sum_{i=1}^r b_i \mu_i^j$,
 $\mu_i \in \mathbb{C}$; $Q_L^{(i)} = (\mu_i^1, \dots, \mu_i^L)^T$.

Алгоритм:

$\{U_L^{(i)}\}_{i=1}^r$ — ортонормированный базис $\widehat{\mathbb{S}^L(S)}$, $r < L$.

$$\{U_L^{(i)}\}_{i=1}^r \xrightarrow{ESPRIT} \{\mu_i\}_{i=1}^r \xrightarrow{\mu^t} \{Q_{L'}^{(i)}\}_{i=1}^r \xrightarrow{EVD} \{U_{L'}^{(i)}\}_{i=1}^r.$$

Получили $\{U_{L'}^{(i)}\}_{i=1}^r$ — ортонормированный базис $\widehat{\mathbb{S}^{L'}(S)}$.

Модификация для стационарных рядов:

$$\{\mu_i\}_{i=1}^r \xrightarrow{\mu^* = \mu/|\mu|} \{\mu_i^*\}_{i=1}^r$$

Имея базис $\{U_{L'}^{(i)}\}_{i=1}^r$, можно построить ФПТ и ЛРФ по нему.

Модель эксперимента:

Зашумленный **стационарный** ряд конечного порядка вида:

$$f_j = \sum_{k=1}^m b_k \cos(\omega_k j + \varphi_k) + \varepsilon_j, \quad j \in \{1, \dots, N\}.$$

Длина окна $L \approx N/2$ и $L \approx N/3$.

Улучшение от применения алгоритма растяжения базиса:

для восстановления последней точки 6-7% (общий случай) и 50-60% (стационарный);
для прогноза — 2-3% и 50-60% соответственно.

Выводы:

- Модификация улучшает восстановление последней точки и прогноз.
- Для стационарных рядов наблюдается существенное улучшение.

Постановка задачи:

Имеется ряд F и его SSA-разложение $\{\sqrt{\lambda_i}, U^{(i)}, V^{(i)}\}_{i=1}^d$. Требуется найти \mathcal{I} — множество компонент, соответствующих э.-м. гармоникам с частотами из интервала $(0, 0.5)$.

Известные факты:

Собственные вектора, порожденные экспоненциально-модулированной гармоникой, имеют вид:

$$\begin{aligned} (U^{(1)})_n &= B_1 e^{\alpha n} \cos(2\pi \vartheta n + \varphi_1), \\ (U^{(2)})_n &= B_2 e^{\alpha n} \cos(2\pi \vartheta n + \varphi_2); \end{aligned} \quad (1)$$

кроме того:

$$\lambda_1 \approx \lambda_2.$$

Таким образом:

- достаточно проверять соседние пары с номерами $(i, i + 1)$;
- пары вида (1) можно находить на основе периодограмм собственных векторов.

Периодограмма вектора $U = (u_1, u_2, \dots, u_L)^T$:

$$\Pi_U(\theta) = \frac{2}{L} \sum_{j=0}^{L-1} e^{-i2\pi\theta j} u_{j+1}, \quad \theta \in D_L = \{k/L\}_{k=0}^{\lfloor L/2 \rfloor}.$$

Алгоритм идентификации э.-м. гармоник:

(Vautard, Yiou, Ghil, 1992, Александров, 2006)

Параметры: $\Delta, s, \Gamma^{(s)}$.

Результат идентификации: $(U^{(1)}, U^{(2)})$ э.-м. гармоника ?

Первый этап

– статистика $\delta = |\arg\max_k \Pi_{U^{(1)}}(k/L) - \arg\max_l \Pi_{U^{(2)}}(l/L)|$;

– если $\delta > \Delta$, то НЕТ.

Второй этап

– $S\Pi(k) = 0.5(\Pi_{U^{(1)}}(k/L) + \Pi_{U^{(2)}}(k/L))$;

– статистика $\gamma^{(s)} = \max_k \sum_{l=k}^{k+s-1} S\Pi(l)$;

– если $\gamma^{(s)} > \Gamma^{(s)}$, НЕТ; иначе, ДА.

Глава 3: Вид периодограммы э.-м. гармоники

Будем рассматривать вектор $W = (w_1, \dots, w_L)^T$ длины L следующего вида:

$$w_t = e^{\alpha(t-1)} \cos(\omega(t-1) + \varphi), \quad |\alpha| > 0, \quad \omega \in (0, \pi). \quad (2)$$

Введем некоторые обозначения:

$$\begin{aligned} A &= A(\varphi, \alpha, \omega, L) = \cos \varphi - e^{L\alpha} \cos(L\omega + \varphi), \\ B &= B(\varphi, \alpha, \omega, L) = e^{\alpha} (\cos(\varphi - \omega) - e^{L\alpha} \cos(L\omega + \varphi - \omega)), \\ \mathcal{P}(\kappa) &= \frac{e^{-2\alpha}}{2L} \cdot \frac{A^2 + B^2 - 2AB \cos \kappa}{(\cos \kappa - \cosh \alpha \cos \omega)^2 + \sinh^2 \alpha \sin^2 \omega}. \end{aligned}$$

Теорема (Вид периодограммы э.-м. гармоники)

Функция $\mathcal{P}(\kappa)$ совпадает с периодограммой вектора (2) везде, где периодограмма определена:

$$\Pi(\theta) = \mathcal{P}(2\pi\theta) \quad \text{при } \theta \in D_L = \{k/L\}_{k=0}^{\lfloor L/2 \rfloor}.$$

Глава 3: Теоретический результат для первого этапа

$$(U^{(1)})_n = B_1 e^{\alpha n} \cos(2\pi \vartheta n + \varphi_1), \quad (U^{(2)})_n = B_2 e^{\alpha n} \cos(2\pi \vartheta n + \varphi_2).$$

Вопрос: $(U^{(1)}, U^{(2)})$ проходят первый этап ?

Теорема

Пусть

$$\cosh \alpha - 1 < 2 \cos(\pi/L) (1 - \cos(\pi/L)), \quad (3)$$

тогда при любой частоте $\vartheta \in (0, 0.5)$ и при любых фазах $\varphi_1, \varphi_2 \in \mathbb{R}$:

$$|\operatorname{argmax}_k \Pi_{U^{(1)}}(k/L) - \operatorname{argmax}_l \Pi_{U^{(2)}}(l/L)| \leq 1.$$

Таким образом, при выполнении (3) достаточно рассматривать $\Delta = 1$.

Предложение

Пусть $\alpha = \alpha_L = \Lambda/L$, тогда при $|\Lambda| < \sqrt{2}\pi (\approx 4.44)$ найдется такое L_0 , что для всех $L > L_0$ выполняется (3).

Например, для $\Lambda = 4$, достаточно $L > 5$.

Глава 3: Теоретические результаты для второго этапа

$$(U^{(1)})_n = B_1 e^{\alpha n} \cos(2\pi \vartheta n + \varphi_1), \quad (U^{(2)})_n = B_2 e^{\alpha n} \cos(2\pi \vartheta n + \varphi_2).$$

Вопрос: $(U^{(1)}, U^{(2)})$ вид статистики второго этапа $\gamma^{(s)}$?

Введем вспомогательные функции:

$$\beta(\vartheta, L) = L \cdot \text{dist}(\vartheta, D_L) = \min(\{L\vartheta\}, 1 - \{L\vartheta\}),$$

$$g(\beta, \Lambda) = 2 \cdot \frac{\Lambda(\cosh \Lambda - \cos 2\pi\beta)}{(\Lambda^2 + 4\pi^2\beta^2) \sinh \Lambda}$$

и семейство функций

$$g^{(1)}(\beta, \Lambda) = g(\beta, \Lambda), \quad g^{(2)}(\beta, \Lambda) = g(\beta, \Lambda) + g(1 - \beta, \Lambda),$$

$$g^{(3)}(\beta, \Lambda) = g(\beta, \Lambda) + g(1 - \beta, \Lambda) + g(1 + \beta, \Lambda), \quad \dots$$

Теорема

Пусть $\alpha = \alpha_L = \Lambda/L$, тогда при $L \rightarrow \infty$ для любых s, ϑ и Λ верно:

$$\gamma^{(s)} = g^{(s)}(\beta(\vartheta, L), \Lambda) + \mathcal{O}(1/L).$$

Виды ошибок автоматической идентификации:

- ошибки первого рода (не идентифицировать гармонику);
- ошибки второго рода (идентифицировать негармонику).

Для зашумленного сигнала MSE восстановления сигнала при фиксированном пороге $\Gamma^{(s)}$ имеет **бимодальную структуру**:

- большое MSE с маленькой вероятностью (результат ошибки первого рода);
- маленькое MSE с большой вероятностью (результат ошибок второго рода).

Статистический подход:

- 1 фиксировать ν — вероятность ошибки первого рода, и выбрать в качестве порога $\Gamma^{(s)}$ ν -квантиль распределения статистики $\gamma^{(s)}$;
- 2 подобрать s , минимизируя среднюю ошибку второго рода.

Пример: зашумленный сигнал, $r = 2$.

Параметр s второго этапа критерия зафиксирован.

$\gamma^{(s)} = \gamma^{(s)}((U^{(1)}, U^{(2)}))$, где $U^{(1)}, U^{(2)}$ — первая пара собственных векторов.

Фиксируем ν — вероятность ошибки первого рода.

Согласно ν -подходу, порог критерия $\Gamma^{(s)} = \gamma_{\nu}^{(s)}$ — ν -квантиль распределения $\gamma^{(s)}$

Моделирование показало:

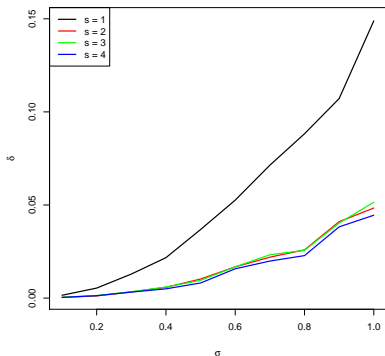
$E\gamma^{(s)} \approx g^{(s)}$, где $g^{(s)}$ найдено теоретически.

Выводы:

- 1 Аппроксимации $g^{(s)}$ хорошо оценивают средние $E\gamma^{(s)}$.
- 2 Квантиль $\gamma_{\nu}^{(s)}$ незначительно отличается от $E\gamma^{(s)}$.
- 3 Аппроксимации $g^{(s)}$ можно использовать для выбора параметров $\Gamma^{(s)}$.

Глава 3: Выбор параметра s на примере

Пусть вероятность ошибки первого рода $\nu = 0.05$, длина ряда $N = 200$, $f_n = s_n + r_n$, длина окна $L = 50$, $s_n = e^{0.01n} \cos(\pi n/4)$, $D r_n = \sigma^2$.



Суммарный вклад
ошибок второго рода
в зависимости от σ .

- 1 Этап восстановления метода SSA исследован с точки зрения теории линейной фильтрации.
- 2 Построен алгоритм улучшения восстановления последней точки/прогноза.
- 3 Доказаны теоретические факты о периодограммах экспоненциально-модулированных гармоник и статистиках периодограммного критерия автоматической идентификации.
- 4 Полученные теоретические результаты применены в рамках статистического подхода к выбору параметров периодограммного критерия идентификации.